



课程项目

危国锐 516021910080

(上海交通大学电子信息与电气工程学院, 上海 200240)

摘 要: .

关键词: 词 1, 词 2

Course Project

Guorui Wei 516021910080

*(School of Electronic Information and Electrical Engineering,
Shanghai Jiao Tong University, Shanghai 200240, China)*

Abstract: Abstract.

Keywords: keyword 1, keyword



目 录

摘要	i
Abstract.....	i
1 项目要求	3
2 预备知识	4
2.1 离散 Fourier 变换 (DFT)	4
2.2 离散时间 Fourier 变换 (DTFT)	4
2.3 Fourier 级数 (FS)	5
2.4 连续时间 Fourier 变换 (CTFT)	5
2.5 DFT 与 CTFT 的关系: 从数值积分的视角.....	6
3 项目 1	8
3.1 项目简介.....	8
3.2 数据和方法.....	8
3.2.1 音频信号.....	8
3.2.2 CTFT 数值算法.....	8
3.2.3 数值 CTFT 的性质	8
3.3 结果和讨论.....	11
3.4 项目小结.....	11
4 项目 2: 语音采样器 (Speech Sampler)	12
4.1 项目简介.....	12
4.2 数据和方法.....	12
4.2.1 连续时间信号.....	12
4.2.2 冲激串采样与理想带限内插.....	13
4.2.3 基于理想带限内插的信号重建.....	15
4.2.4 信号重建质量的评价.....	15
4.3 结果和讨论.....	16
4.4 项目小结.....	16
References.....	17
Appendix A MATLAB 源代码	18



1 项目要求

目标:

- 帮助学生理解和掌握课程的基本理论
- 提升学生将理论应用于实践中的能力

软件需求:

工具: MATLAB (推荐), 或其它工具, 例如 Python, C/C++

作业要求:

- 请在 CANVAS 上提交一个.zip 格式的文件, 你的解答应至少包含以下三方面的内容:
 - 1) 一份大作业报告 (中文或英文均可, .pdf 格式);
 - 2) 结果中的语音片段;
 - 3) 用于生成上述语音片段的源代码。
- 不允许迟交, 否则会酌情扣分

项目 1 (5 分)

- 1) 选择一段音频信号 (音乐等), 将其记为 $f(t)$, 画出该信号的波形。
- 2) 生成 $f(-t)$, $f(2t)$, $f(t/2)$, 并画出它们的波形。
- 3) 分别计算 $f(t)$, $f(2t)$, $f(t/2)$ 的傅里叶变换, 画出它们的频谱, 并对它们进行比较和分析。
- 4) 将 $f(t)$ 的傅里叶变换记为 $F(j\omega)$, 画出幅度谱的傅里叶反变换 $\mathcal{F}^{-1}\{|F(j\omega)|\}$ 的波形, 画出相位谱的傅里叶反变换 $\mathcal{F}^{-1}\{e^{j\angle F(j\omega)}\}$ 的波形。将它们与原始信号 $f(t)$ 进行比较。
- 5) 对 $f(t)$ 在频域实现一个低通滤波器 (可使用理想低通滤波器, 自行确定截止频率), 画出得到的信号的波形。

项目 2 (5 分, 以下两个选项中任选一个)

提示: 你可以自由选取所用的声音信号。

选项 1: 声音消除器 (Voice Eliminator)

- 1) 设计一个名为“Voice Eliminator”的软件或仿真程序, 可用于消除一首歌曲中歌手的声音。
- 2) 分析“Voice Eliminator”的基本设计思路和原理, 并用编程语言实现之。
- 3) 进一步, 使用合适的方法来提高“Voice Eliminator”的性能 (从理论和实际的角度)。

选项 2: 语音采样器 (Speech Sampler)

- 1) 采集某个人的声音作为一段连续时间信号, 使用不同的采样频率对其进行若干次采样, 得到若干份离散时间信号。(推荐采样频率: 44 kHz, 22 kHz, 11 kHz, 5.5 kHz, 2.75 Hz)
- 2) 对上述离散时间信号分别进行重构, 得到相应的连续时间信号, 分析不同采样频率对重构质量的影响, 并计算重构误差。
- 3) 分析“Speech Sampler”的基本设计思路和原理, 并用编程语言实现之。



2 预备知识

本节首先推导四种 Fourier 变换, 得到: 1) 非周期信号的 Fourier 变换可视作周期信号情形的推广, 2) 周期 (非周期)、离散 (连续) 时间信号的频谱是离散 (连续)、周期 (非周期) 的. 然后, 从数值积分的角度, 说明对于一个连续时间信号, 其采样值序列的离散 Fourier 变换可视作该信号的 Fourier 变换的一个近似 (2.24).

2.1 离散 Fourier 变换 (DFT)

在一定的条件下, 以正整数 N 为最小正周期的离散时间信号 $x(n)$ 可表为 N 个以 N 为周期的复指数信号

$$\exp\left(jk\frac{2\pi}{N}n\right), \quad k = 0, 1, \dots, N-1$$

的线性组合:

$$x(n) = \sum_{k=0}^{N-1} a_k \exp\left(jk\frac{2\pi}{N}n\right). \quad (2.1)$$

若将 a_k 视作 $x(n)$ 在函数内积空间

$$\text{span}\left\{\exp\left(jk\frac{2\pi}{N}n\right)\right\}, \quad k = 0, 1, \dots, N-1$$

上的最佳平方逼近的坐标, 则 a_k 满足法方程

$$\Phi \mathbf{a} = \mathbf{b}, \quad (2.2)$$

其中 $\mathbf{a} := (a_0, \dots, a_{N-1})^T$, $\mathbf{b} := (b_0, \dots, b_{N-1})^T$, $\Phi := (\varphi_{ij})_{N \times N}$,

$$b_k := \left\langle x(n), \exp\left(jk\frac{2\pi}{N}n\right) \right\rangle := \sum_{n=0}^{N-1} x(n) \exp\left(-jk\frac{2\pi}{N}n\right), \quad (2.3)$$

$$\varphi_{ij} := \left\langle \exp\left(ji\frac{2\pi}{N}n\right), \exp\left(jj\frac{2\pi}{N}n\right) \right\rangle := \sum_{n=0}^{N-1} \exp\left(ji\frac{2\pi}{N}n\right) \exp\left(-jj\frac{2\pi}{N}n\right) = N\delta_{ij}. \quad (2.4)$$

从而

$$a_k = \frac{1}{N} \sum_{n=0}^{N-1} x(n) \exp\left(-jk\frac{2\pi}{N}n\right). \quad (2.5)$$

定义

$$\mathcal{F}[x(n)](k) := \hat{x}(k) := \sum_{n=0}^{N-1} x(n) \exp\left(-jk\frac{2\pi}{N}n\right), \quad k = 0, 1, \dots, N-1 \quad (2.6)$$

为离散时间序列 $x(n)$ 的 N 点**离散 Fourier 变换** (Discrete Fourier transform, DFT), 则

$$\mathcal{F}^{-1}[\hat{x}(k)](n) := x(n) = \frac{1}{N} \sum_{k=0}^{N-1} \hat{x}(k) \exp\left(jk\frac{2\pi}{N}n\right) \quad (2.7)$$

为相应的 N 点**离散 Fourier 逆变换** (Inverse discrete Fourier transform, IDFT).

可见, 周期、离散时间信号的频谱 (Fourier 变换) 是离散的、周期的.

2.2 离散时间 Fourier 变换 (DTFT)

将周期的离散时间序列的 DFT 推广到非周期的离散时间序列, 即得离散时间 Fourier 变换 (DTFT).

设 $x(n)$ 是一个非周期的离散时间信号. 定义以偶数 N 为最小正周期的离散时间信号



$$x_N(n) := \begin{cases} x(n), & -\frac{N}{2} \leq n < \frac{N}{2}, \\ x(n+N), & \forall n. \end{cases} \quad (2.8)$$

有

$$x(n) = \lim_{N \rightarrow +\infty} x_N(n), \quad \forall n. \quad (2.9)$$

由 IDFT (2.7), 有

$$\begin{aligned} x(n) &= \lim_{N \rightarrow +\infty} x_N(n) \\ &= \lim_{N \rightarrow +\infty} \frac{1}{N} \sum_{k=-N/2}^{N/2-1} \exp\left(jk \frac{2\pi}{N} n\right) \sum_{n=-N/2}^{N/2-1} x(n) \exp\left(-jk \frac{2\pi}{N} n\right) \\ &= \frac{1}{2\pi} \int_{2\pi} \exp(j\omega n) d\omega \sum_{n=-\infty}^{+\infty} x(n) \exp(-j\omega n). \end{aligned} \quad (2.10)$$

定义

$$\mathcal{F}[x(n)](\omega) := \hat{x}(\omega) := \sum_{n=-\infty}^{+\infty} x(n) \exp(-j\omega n), \quad \omega \in \mathbb{R} \quad (2.11)$$

为离散时间序列 $x(n)$ 的**离散时间 Fourier 变换** (Discrete-time Fourier transform, DTFT), 则

$$\mathcal{F}^{-1}[\hat{x}(\omega)](n) := x(n) = \frac{1}{2\pi} \int_{2\pi} \hat{x}(\omega) \exp(j\omega n) d\omega \quad (2.12)$$

为相应的**离散时间 Fourier 逆变换**. 这样, 非周期的离散时间信号 $x(n)$ 被表为复指数信号 $\exp(j\omega n)$ 的“线性组合”.

注意到 2π 是 $\mathcal{F}[x(n)](\omega)$ 的周期. 可见, 非周期、离散时间信号的频谱是连续的、周期的.

2.3 Fourier 级数 (FS)

在一定的条件下, 以 T 为最小正周期的连续时间信号 $x(t)$ 可表为可列个以 T 为周期的复指数信号

$$\exp(jk\omega_0 t), k \in \mathbb{Z}, \quad \omega_0 := 2\pi/T$$

的线性组合:

$$x(t) = \sum_{k \in \mathbb{Z}} \exp(jk\omega_0 t) \frac{1}{T} \int_T x(t) \exp(-jk\omega_0 t) dt. \quad (2.13)$$

称 (2.13) 为周期的连续时间信号 $x(t)$ 的**Fourier 级数** (Fourier series, FS).

可见, 周期、连续时间信号的频谱是离散的、非周期的.

2.4 连续时间 Fourier 变换 (CTFT)

将周期的连续时间信号的 Fourier 级数推广到非周期的连续时间信号, 即得连续时间 Fourier 变换 (CTFT).

设 $x(t)$ 是一个非周期的连续时间信号. 定义以 T 为最小正周期的连续时间信号

$$x_T(t) := \begin{cases} x(t), & -\frac{T}{2} \leq t < \frac{T}{2}, \\ x(t+T), & \forall t. \end{cases} \quad (2.14)$$

有



$$x(t) = \lim_{T \rightarrow +\infty} x_T(t), \quad \forall t. \quad (2.15)$$

由周期的连续时间信号的 Fourier 级数 (2.13), 有

$$\begin{aligned} x(t) &= \lim_{T \rightarrow +\infty} x_T(t) \\ &= \lim_{T \rightarrow +\infty} \frac{1}{T} \sum_{k \in \mathbb{Z}} \exp(jk\omega_0 t) \int_{-T/2}^{T/2} x(t) \exp(-jk\omega_0 t) dt \\ &= \frac{1}{2\pi} \int_{\mathbb{R}} \exp(j\omega t) d\omega \int_{\mathbb{R}} x(t) \exp(-j\omega t) dt. \end{aligned} \quad (2.16)$$

定义

$$\mathcal{F}[x(t)](\omega) := \hat{x}(\omega) := \int_{\mathbb{R}} x(t) \exp(-j\omega t) dt, \quad \omega \in \mathbb{R} \quad (2.17)$$

为连续时间信号 $x(t)$ 的**连续时间 Fourier 变换** (Continuous-time Fourier transform, CTFT), 则

$$\mathcal{F}^{-1}[\hat{x}(\omega)](t) := x(t) = \frac{1}{2\pi} \int_{\mathbb{R}} \hat{x}(\omega) \exp(j\omega t) d\omega \quad (2.18)$$

为相应的**连续时间 Fourier 逆变换** (Inverse continuous-time Fourier transform, ICTFT). 这样, 非周期的连续时间信号 $x(t)$ 被表为复指数信号 $\exp(j\omega t)$ 的“线性组合”.

可见, 非周期、连续时间信号的频谱是连续的、非周期的.

2.5 DFT 与 CTFT 的关系: 从数值积分的视角

自然界中的声音信号是连续的, 但计算机通常只能以离散方式存储和处理之.

设有连续时间信号 $x(t)$ 满足

$$x(t) = 0, \quad \forall t: t < t_0 \text{ or } t \geq t_0 + \tau. \quad (2.19)$$

这 $x(t)$ 仅在有限时间上不恒为零, 故称其为**时域有限的**. 记 $x(t)$ 的 CTFT 为

$$X(\omega) := \mathcal{F}[x(t)] = \int_{\mathbb{R}} x(t) \exp(-j\omega t) dt = \int_{t_0}^{t_0+\tau} x(t) \exp(-j\omega t) dt. \quad (2.20)$$

设在计算机中存储了 $x(t)$ 在 $t = t_0 + nT_s$, $n = 0, \dots, N-1$, 时刻的采样值 $x(t_0 + nT_s)$, $NT_s = \tau$. 记 $F_s := 1/T_s$ 为采样频率, 则 $N = \tau F_s$. 记离散时间序列

$$\tilde{x}(n) := x(t_0 + nT_s), \quad 0 \leq n < N \quad (2.21)$$

的 N 点 DFT (2.6) 为

$$\hat{x}(k) := \mathcal{F}[\tilde{x}(n)] = \sum_{n=0}^{N-1} x(t_0 + nT_s) \exp\left(-jk \frac{2\pi}{N} n\right), \quad k = 0, 1, \dots, N-1. \quad (2.22)$$

使用采样时刻 $t = t_0 + nT_s$, $n = 0, \dots, N-1$, 上 $x(t)$ 的值, 定积分 (2.20) 的矩形近似为

$$X(\omega) \sim T_s \sum_{n=0}^{N-1} x(t_0 + nT_s) \exp(-j\omega(t_0 + nT_s)). \quad (2.23)$$

比较 (2.22) 和 (2.23), 得 $x(t)$ 的 CTFT $X(\omega)$ 与其采样序列 $\tilde{x}(n) := x(nT_s)$ 的 N 点 DFT $\hat{x}(k)$ 的关系为 (在矩形积分公式近似下)

$$X(\omega)|_{\omega=\frac{k}{N}\omega_s} \sim T_s \hat{x}(k) \exp\left(-j \frac{k}{N} \omega_s t_0\right), \quad k = 0, 1, \dots, N-1, \quad (2.24)$$

其中 $\omega_s := 2\pi F_s$ 为采样圆频率. 记 $\omega_k := \frac{k}{N} \omega_s$, 上式写成



$$X(\omega_k) \sim T_s \sum_{n=0}^{N-1} x(t_0 + nT_s) \exp(-j\omega_k(t_0 + nT_s)).$$

式 (2.24) 右端可作为 $x(t)$ 的 CTFT $X(\omega)$ 的一个数值解.

注 2.1 由 (2.24) 只能得到 $X(\omega)$ 在 $\omega \in [0, \omega_s)$ 上的一些近似值 (若取 $-N/2 \leq k < N/2$, 则得到 $\omega \in [-\omega_s/2, \omega_s/2)$ 上的), 这符合 Nyquist 采样定理. ■

注 2.2 事实上, 不必限制 (2.22) 和 (2.24) 中 $k \in \mathbb{Z}$ 的取值. 因为 $\hat{x}(k)$ 具有周期 N , 所以 CTFT 数值解 $X(\omega)|_{\omega=\frac{k}{N}\omega_s}$ 具有周期 ω_s . ■



3 项目 1

3.1 项目简介

选择一段音频信号 (音乐等), 将其记为 $f(t)$, 画出该信号的波形。

生成 $f(-t)$, $f(2t)$, $f(t/2)$, 并画出它们的波形。

分别计算 $f(t)$, $f(2t)$, $f(t/2)$ 的傅里叶变换, 画出它们的频谱, 并对它们进行比较和分析。

将 $f(t)$ 的傅里叶变换记为 $F(j\omega)$, 画出幅度谱的傅里叶反变换 $\mathcal{F}^{-1}\{|F(j\omega)|\}$ 的波形, 画出相位谱的傅里叶反变换 $\mathcal{F}^{-1}\{e^{j\angle F(j\omega)}\}$ 的波形。将它们与原始信号 $f(t)$ 进行比较。

对 $f(t)$ 在频域实现一个低通滤波器 (可使用理想低通滤波器, 自行确定截止频率), 画出得到的信号的波形。

3.2 数据和方法

3.2.1 音频信号

本项目使用的音频信号是使用 [Chrome Music Lab - Song Maker \(chromeexperiments.com\)](https://musiclab.chromeexperiments.com/Song-Maker/song/6679651116384256) 工具¹制作的, 时长 2 秒, 采样率 48 kHz, 可从 <https://musiclab.chromeexperiments.com/Song-Maker/song/6679651116384256> 下载。

3.2.2 CTFT 数值算法

设在计算机中存储了连续时间信号 $x(t)$ 在 $t = t_0 + nT_s$, $n = 0, \dots, N-1$ 时刻的样值

$$x(t_0 + nT_s), \quad n = 0, \dots, N-1,$$

采样间隔 $T_s > 0$. 下面建立数值求解 $x(t)$ 的 CTFT 的算法。

假定 $x \in C_c[t_0, t_0 + NT_s]$ ². $x(t)$ 的 CTFT 可按 (2.24) 求得数值结果:

$$X(\omega)|_{\omega=\frac{k}{N}\omega_s} \sim \exp\left(-j\frac{k}{N}\omega_s t_0\right) T_s \sum_{n=0}^{N-1} x(t_0 + nT_s) \exp\left(-jk\frac{2\pi}{N}n\right) \quad (3.1)$$

上式右端的求和号可直接调用快速 Fourier 变换程序 (例如, Matlab 的 `fft` 函数³) 计算。

至此, 数值求解 $x(t)$ 的 CTFT 的算法已建立, 现重述如下。

算法 3.1 (CTFT by DFT) 输入: 数组 $\{t_n\}, \{x_n\}$, $n = 0, \dots, N-1$. 要求 $\{t_n\}$ 单调递增, 且等间隔。

步 1 决定 t_0, T_s . 令 t_0 为数组 $\{t_n\}$ 的首元素, T_s 为 $\{t_n\}$ 的公差。

步 2 按 (3.1) 计算 $X(\omega)|_{\omega=\frac{k}{N}\omega_s} \sim \exp(-j\frac{k}{N}\omega_s t_0) T_s \sum_{n=0}^{N-1} x(t_0 + nT_s) \exp(-jk\frac{2\pi}{N}n)$.

■

3.2.3 数值 CTFT 的性质

记 $X(\omega)$ 是用算法 3.1 求出的 $x(t)$ 的数值 CTFT, 下面推导其反变换, 时移, 尺度变换和奇偶虚实性质, 并与 CTFT 解析解的相应性质作比较。

¹ <https://musiclab.chromeexperiments.com/Song-Maker/>

² continuous functions that are only nonzero on a closed subinterval of $[t_0, t_0 + NT_s]$

³ <https://www.mathworks.cn/help/matlab/ref/fft.html>



设 $X(\omega)$ 是由 $x(t)$ 的样值

$$x(t_0 + nT_s), \quad n = 0, \dots, N-1$$

用算法 3.1 求得的, 简记为

$$x(t) \xleftrightarrow[\text{算法 3.1}]{\text{数值 CTFT}} X(\omega_k),$$

其中 $\omega_k := \frac{k}{N}\omega_s$, $k \in \mathbb{Z}$, $\omega_s := 2\pi/T_s$,

$$X(\omega_k) := \exp(-j\omega_k t_0) T_s \sum_{n=0}^{N-1} x(t_0 + nT_s) \exp(-j\omega_k nT_s). \quad (3.1')$$

1 反变换

由离散 Fourier 逆变换 (2.7), 有

$$\begin{aligned} x(t_0 + nT_s) &= \frac{1}{N} \sum_{k=0}^{N-1} \exp(j\omega_k nT_s) \sum_{n=0}^{N-1} x(t_0 + nT_s) \exp(-j\omega_k nT_s) \\ &= \frac{1}{2\pi} \frac{\omega_s}{N} \sum_{k=0}^{N-1} X(\omega_k) \exp(j\omega_k(t_0 + nT_s)). \end{aligned} \quad (3.2)$$

上式右端可视作连续时间 Fourier 逆变换 (2.18)

$$x(t) = \frac{1}{2\pi} \int_{\mathbb{R}} \hat{x}(\omega) \exp(j\omega t) d\omega \quad (3.3)$$

的矩形积分公式的近似, 其中 $\hat{x}(\omega)$ 是 $x(t)$ 的 CTFT 解析解 (2.17)

$$\hat{x}(\omega) := \mathcal{F}[x(t)] := \int_{\mathbb{R}} x(t) \exp(j\omega t) dt. \quad (2.17)$$

式 (3.2) 可写成

$$x(t_0 + nT_s) = F_s \frac{1}{N} \sum_{k=0}^{N-1} (X(\omega_k) \exp(j\omega_k t_0)) \exp\left(jk \frac{2\pi}{N} n\right). \quad (3.2')$$

上式右端的求和号可直接调用快速 Fourier 逆变换程序 (例如, Matlab 的 ifft 函数⁴) 计算.

算法 3.2 (ICTFT by IDFT) 输入: 初始时刻 t_0 , 数组 $\{\omega_k\}, \{X_k\}$, $k = 0, \dots, N-1$. 要求 $\{\omega_k\}$ 单调递增, 且等间隔.

步 1 决定 F_s, T_s . 令 ω_s 为 $\{\omega_k\}$ 的公差, 则 $F_s := \omega_s/(2\pi)$, $T_s := 2\pi/\omega_s$.

步 2 按 (3.2') 计算 $x(t_0 + nT_s) = F_s \frac{1}{N} \sum_{k=0}^{N-1} (X(\omega_k) \exp(j\omega_k t_0)) \exp(jk \frac{2\pi}{N} n)$. ■

2 尺度变换性质

考虑信号 $g(t) := x(at)$. 若 $a > 0$, 则它的数值 CTFT $G(\omega)$ 将由其样值

$$g\left(\frac{t_0}{a} + n \frac{T_s}{a}\right) = x(t_0 + nT_s), \quad n = 0, \dots, N-1$$

决定. 根据算法 3.1,

$$\begin{aligned} G(\omega)|_{\omega=\frac{k}{N}a\omega_s} &= \exp\left(-j \frac{k}{N} a \omega_s \frac{t_0}{a}\right) \frac{T_s}{a} \sum_{n=0}^{N-1} x(t_0 + nT_s) \exp\left(-jk \frac{2\pi}{N} n\right) \\ &= \frac{1}{a} X(\omega)|_{\omega=\frac{k}{N}\omega_s}, \quad a > 0, k \in \mathbb{Z}. \end{aligned} \quad (3.4)$$

若 $a < 0$, 则它的 CTFT 数值解 $G(\omega)$ 将由其样值

$$g\left(\frac{t_0}{a} + (N-1) \frac{T_s}{a} + n \frac{T_s}{-a}\right) = x(t_0 + (N-1-n)T_s), \quad n = 0, \dots, N-1$$

⁴ <https://ww2.mathworks.cn/help/matlab/ref/fft.html>



决定. 根据算法 3.1, 此时

$$\begin{aligned}
 G(\omega)|_{\omega=\frac{k}{N}(-a)\omega_s} &= \exp\left(-j\frac{k}{N}(-a)\omega_s\left(\frac{t_0}{a}+(N-1)\frac{T_s}{a}\right)\right) \\
 &\times \frac{T_s}{-a} \sum_{n=0}^{N-1} x(t_0+(N-1-n)T_s) \exp\left(-jk\frac{2\pi}{N}n\right) \\
 &= \exp\left(-j\frac{-k}{N}\omega_s t_0\right) \exp\left(-j\frac{k}{N}\omega_s(-(N-1)T_s)\right) \\
 &\times \frac{T_s}{-a} \sum_{n=0}^{N-1} x(t_0+nT_s) \exp\left(-jk\frac{2\pi}{N}(N-1-n)\right) \\
 &= \exp\left(-j\frac{-k}{N}\omega_s t_0\right) \frac{T_s}{-a} \sum_{n=0}^{N-1} x(t_0+nT_s) \exp\left(-j(-k)\frac{2\pi}{N}n\right) \\
 &= \frac{1}{-a} X(\omega)|_{\omega=\frac{k}{N}\omega_s}, \quad a < 0, k \in \mathbb{Z}.
 \end{aligned} \tag{3.5}$$

式 (3.4) (3.5) 可统一写成

$$g(t) := x(at) \xrightarrow[\text{算法 3.1}]{\text{数值 CTFT}} G(\omega_k) = \frac{1}{|a|} X\left(\frac{\omega_k}{a}\right), \quad a \neq 0, \tag{3.6}$$

其中 $\omega_k := \frac{k}{N}|a|\omega_s$, $k \in \mathbb{Z}$.

式 (3.6) 与 CTFT 解析解的尺度变换性质相同.

3 时移性质

考虑信号 $g(t) := x(t+\tau)$, 则它的数值 CTFT 数值 $G(\omega)$ 将由其样值

$$g(t_0 - \tau + nT_s) = x(t_0 + nT_s), \quad n = 0, \dots, N-1$$

决定. 根据算法 3.1,

$$\begin{aligned}
 G(\omega)|_{\omega=\frac{k}{N}\omega_s} &= \exp\left(-j\frac{k}{N}\omega_s(t_0 - \tau)\right) T_s \sum_{n=0}^{N-1} x(t_0 + nT_s) \exp\left(-jk\frac{2\pi}{N}n\right) \\
 &= \exp\left(j\frac{k}{N}\omega_s\tau\right) X(\omega)|_{\omega=\frac{k}{N}\omega_s}, \quad k \in \mathbb{Z}.
 \end{aligned} \tag{3.7}$$

上式简记为

$$g(t) := x(t+\tau) \xrightarrow[\text{算法 3.1}]{\text{数值 CTFT}} G(\omega_k) = \exp(j\omega_k\tau) X(\omega_k), \tag{3.8}$$

其中 $\omega_k := \frac{k}{N}\omega_s$, $k \in \mathbb{Z}$.

式 (3.8) 与 CTFT 解析解的时移性质相同.

命题 3.3 算法 3.1 得到的数值 CTFT 能保持 CTFT 解析解的尺度变换和时移性质. ■

4 奇偶虚实性

考虑 $x(t)$ 的共轭信号 $g(t) := x^*(t)$. 用算法 3.1 得到的 $g(t)$ 的 CTFT 数值解

$$\begin{aligned}
 G(\omega)|_{\omega=\frac{k}{N}\omega_s} &= \exp\left(-j\frac{k}{N}\omega_s t_0\right) T_s \sum_{n=0}^{N-1} x^*(t_0 + nT_s) \exp\left(-jk\frac{2\pi}{N}n\right) \\
 &= \left[\exp\left(-j\frac{-k}{N}\omega_s t_0\right) T_s \sum_{n=0}^{N-1} x(t_0 + nT_s) \exp\left(-j(-k)\frac{2\pi}{N}n\right) \right]^* \\
 &= X^*(\omega)|_{\omega=\frac{-k}{N}\omega_s}, \quad k \in \mathbb{Z}.
 \end{aligned} \tag{3.9}$$



上式简记为

$$x^*(t) \xrightleftharpoons[\text{算法 3.1}]{\text{数值 CTFT}} X^*(-\omega_k), \quad (3.9')$$

其中 $\omega_k := \frac{k}{N}\omega_s$, $k \in \mathbb{Z}$.

式 (3.9) 与 CTFT 解析解的相应性质相同.

特别地, 若 $x(t)$ 为实信号, 则 $X(\omega_k)$ 是共轭对称的: $X(\omega_k) = X^*(-\omega_k)$, 即

$$|X(\omega_k)| = |X(-\omega_k)|, \quad \arg(X(\omega_k)) = -\arg(X(-\omega_k)). \quad (3.10)$$

反之, 若 $X(\omega_k)$ 是共轭对称的, 则 $x(t)$ 是实的.

命题 3.4 对于实信号, 由算法 3.1 得到的数值 CTFT 的幅频特性是偶对称的, 相频特性是奇对称的. 反之, 对于共轭对称的频谱, 其由算法 3.2 得到的逆变换是实的. ■

3.3 结果和讨论

3.4 项目小结



4 项目 2：语音采样器 (Speech Sampler)

4.1 项目简介

采集某个人的声音作为一段连续时间信号，使用不同的采样频率对其进行若干次采样，得到若干份离散时间信号。(推荐采样频率：44 kHz, 22 kHz, 11 kHz, 5.5 kHz, 2.75 kHz)

对上述离散时间信号分别进行重构，得到相应的连续时间信号，分析不同采样频率对重构质量的影响，并计算重构误差。

分析“Speech Sampler”的基本设计思路和原理，并用编程语言实现之。

4.2 数据和方法

4.2.1 连续时间信号

为了突出研究主题——采样与重建，本文使用仅含 3 个单音频率分量的连续时间信号 (图 4.1)

$$x(t) := \sum_{i=1}^3 \sin(2\pi f_i t + \varphi_i), \quad (4.1)$$

其中 $f_1 = 10$ kHz, $f_2 = 5$ kHz, $f_3 = 2.5$ kHz, $\varphi_1 = \pi/6$, $\varphi_2 = \pi/2$, $\varphi_3 = 5\pi/6$.

这种信号可通过计算机软件 (例如 Matlab) 方便地生成。

**original signal (periodic)**

Guorui Wei 516021910080

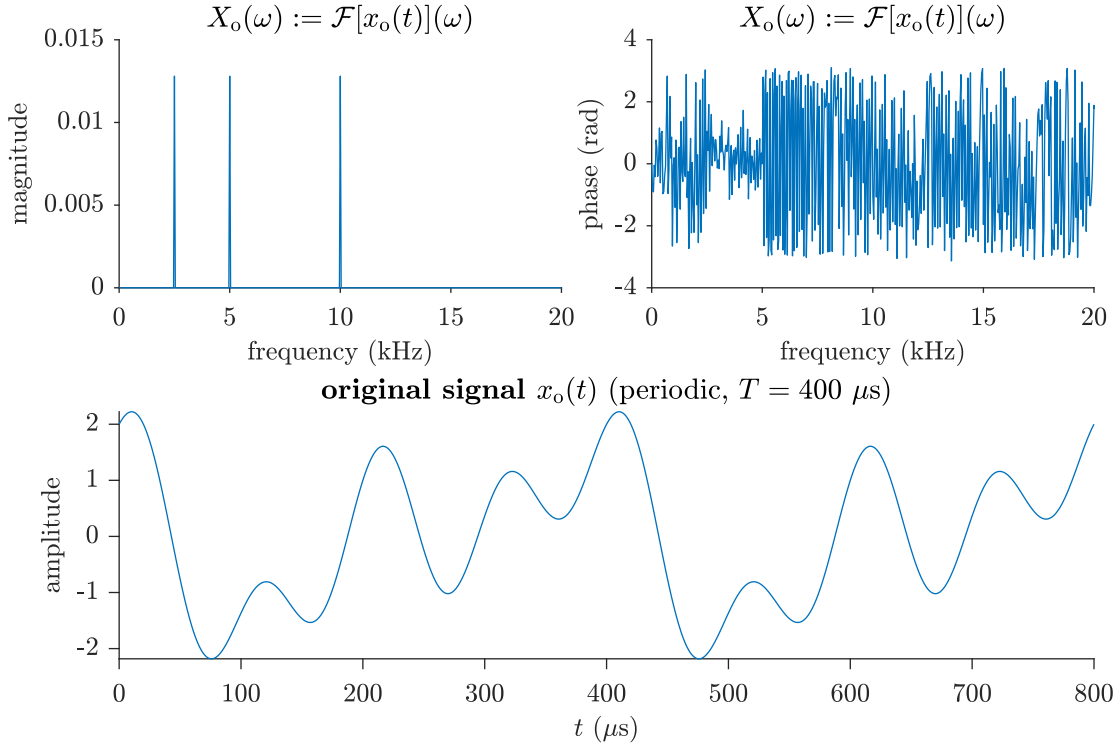


图 4.1 本项目使用的连续时间信号 $x(t)$. 该信号仅含 3 个等幅且初相不同的单音频率分量, 即 $x(t) := \sum_{i=1}^3 \sin(2\pi f_i t + \varphi_i)$, $f_1 = 10$ kHz, $f_2 = 5$ kHz, $f_3 = 2.5$ kHz, $\varphi_1 = \pi/6$, $\varphi_2 = \pi/2$, $\varphi_3 = 5\pi/6$. 因此 $x(t)$ 具有 400 μ s 周期. 本图展示了 $x(t)$ 在两个周期上的图像.

4.2.2 冲激串采样与理想带限内插

对连续时间信号 $x(t)$ 执行如图 4.2 所示的冲激串采样和重建流程. 原始信号 $x(t)$ 与周期采样信号

$$p(t) := \sum_n \delta(t - nT_s) = \frac{1}{T_s} \sum_k e^{jk\omega_s t} \xleftrightarrow{\text{CTFT}} P(\omega) = \omega_s \sum_k \delta(\omega - k\omega_s), \quad (4.2)$$

相乘, 得采样后信号 $x_p(t)$, 其频谱

$$X_p(\omega) := \mathcal{F}[x_p(t)] = \mathcal{F}[x(t)p(t)] = \frac{1}{2\pi} X(\omega) * P(\omega) = \frac{1}{T_s} \sum_k X(\omega - k\omega_s). \quad (4.3)$$

可见, $X_p(\omega)$ 就是 $X(\omega)$ 的等幅周期拓展.

若 $x(t)$ 是带限(band-limited)的, 即 $x(t)$ 的频谱满足

$$X(\omega) := \mathcal{F}[x(t)](\omega) = 0, \quad \forall \omega: |\omega| > \omega_m, \quad (4.4)$$

则只需将取样后的信号 $x_p(t)$ 通过一个截止频率为 ω_c , $\omega_m < \omega_c < \omega_s - \omega_m$, 幅度为 T_s 的理想低通滤波器 (频率响应记为 $H(\omega)$), 就可恢复出原始信号 $x(t)$. 理想低通滤波器的冲激响应

$$h(t) = \mathcal{F}^{-1}[H(\omega)] = \frac{1}{2\pi} \int_{-\omega_c}^{\omega_c} T_s e^{j\omega t} d\omega = \frac{2\omega_c}{\omega_s} \text{sinc} \frac{\omega_c t}{\pi}, \quad (4.5)$$

上式中的 sinc 函数定义为

$$\text{sinc } t := \begin{cases} 1, & t = 0, \\ \frac{\sin(\pi t)}{\pi t}, & t \neq 0. \end{cases} \quad (4.6)$$



得到的重建信号

$$x_r(t) = x_p(t) * h(t) = \sum_n x(nT_s) \delta(t - nT_s) * h(t) = \sum_n x(nT_s) h(t - nT_s). \quad (4.7)$$

若取 $\omega_c = \omega_s/2 \in (\omega_m, \omega_s - \omega_m)$, $\omega_s > 2\omega_m$, 则有

$$x_r(t) = \sum_n x(nT_s) \operatorname{sinc}\left(\frac{t}{T_s} - n\right). \quad (4.8)$$

特别地,

$$x_r(nT_s) = \sum_m x(mT_s) \operatorname{sinc}(n - m) = x(nT_s), \quad \forall n \in \mathbb{Z}. \quad (4.9)$$

可见, 重建信号 $x_r(t)$ 经过所有采样点 $(nT_s, x(nT_s))$, 可将 $x_r(t)$ 视作在插值节点 $(nT_s, x(nT_s))$, $n \in \mathbb{Z}$ 下, 以 sinc 函数作为插值基函数的一个插值函数, 称为理想带限内插 (ideal band-limited interpolation).

定理 4.1 (ideal band-limited interpolation) 设带限信号 $x(t)$ 满足 (4.4), 其等间隔采样值 $x(nT_s)$. 若采样频率 $\omega_s := 2\pi/T_s$ 满足 $\omega_s > 2\omega_m$, 则以这些采样时刻作插值节点, 以 sinc 函数作为插值基函数作理想带限内插 (4.8), 可精确重建 $x(t)$. ■

注 4.2 (时域有限信号的重建) 重建公式 (4.8) 是无穷级数, 需要无限个采样值, 一般难以实现. 对于时域有限信号, 因其除一个有限时间区间外恒为零, 故只需在其非恒零区间上等时间间隔采样, 这时 (4.8) 成为有限项求和. 但时域有限信号通常是频域无限的, 通常不满足定理 4.1 的条件, 这时通过 (4.8) 得到的重建信号只是原始信号的近似. ■

对于时域无限的原始信号, 通常只能获得该信号在一个有限时间区间上的等间隔采样值. 为了使用重建公式 (4.8), 可以规定在实际取样区间外的“虚拟”样值都为零. 这时, 重建公式 (4.8) 是对这样一个信号的近似: 它在采样时间区间内同原始信号相同, 在采样时间区间外为零 (或至少在“虚拟”采样时刻为零); 而它通常不是频域有限的, 即使原始信号是频域有限的. 这样, 重建公式 (4.8) 可认为是在采样时间区间内对原始信号的一个近似, 而在采样时间区间外不具有重建意义. 从插值的角度看, 重建公式 (4.8) 可用于内插 (interpolation), 而不适用于外推 (extrapolation), 故称为理想带限内插.

注 4.3 (时域无限信号在有限区间上的重建) 对于时域无限信号, 可以利用其在有限时间区间上的等时间间隔采样值和重建公式 (4.8), 在该时间区间上作内插 (不宜用于外推). 这种“截断”方式通常会在原始信号的基础上引入高频分量, 导致定理 4.1 的条件不再被满足. 因此, 即使原始信号是频域有限的, 通常也不能通过 (4.8) 在采样时间区间上精确重建原始信号. ■

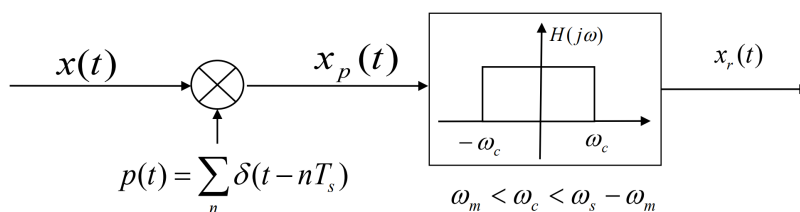


图 4.2 理想采样与重建原理图. $x(t)$ 是带限信号 (band-limited signal), 当 $|\omega| > \omega_m$ 时, $x(t)$ 的频谱 $X(\omega) := \mathcal{F}[x(t)](\omega) = 0$. $p(t)$ 是取样函数 (sampling function), 在冲激串采样中取为周期冲激串, 取样周期为 T_s , 即取样频率 $\omega_s := 2\pi/T_s$. 取样后的信号 $x_p(t)$ 通过一个截止频率为 ω_c , 幅度为 T_s 的理想低通滤波器, 得到重建信号 $x_r(t)$. 若 $\omega_m < \omega_c < \omega_s - \omega_m$, 则有 $x_r(t) = x(t)$, $\forall t$. 图源: 上海交通大学 2022 年春季学期 ICE2301 课程教学用课件 “signal&system(v3.1)-ch4-FT-频域分析.pdf” 第 66 页 (刘伟, 2022).



4.2.3 基于理想带限内插的信号重建

设有时域有限的连续时间信号 $x(t) \in C_c[t_0, t_0 + \tau)$, 其等时间间隔样值

$$x(t_0 + nT_s), \quad n = 0, \dots, N-1,$$

其中 $NT_s = \tau$. 下面建立其理想带限内插.

记 $y(t) := x(t + t_0)$, 则 $y(t) \in C_c[0, \tau)$, 其等时间间隔样值

$$y(nT_s) := x(t_0 + nT_s), \quad n = 0, \dots, N-1.$$

于是 $y(t)$ 的理想带限内插 (4.8) 成为

$$y_r(t) = \sum_{n=-\infty}^{+\infty} y(nT_s) \operatorname{sinc}\left(\frac{t}{T_s} - n\right) = \sum_{n=0}^{N-1} x(t_0 + nT_s) \operatorname{sinc}\left(\frac{t - nT_s}{T_s}\right). \quad (4.10)$$

若 $y(t)$ 满足定理 4.1 的条件 (实际中很难满足, 因为时域有限信号通常是频域无限的), 则 $x(t)$ 也满足定理 4.1 的条件 (因为 $x(t), y(t)$ 具有相同的幅频特性), 从而

$$x_r(t) = x(t) = y(t - t_0) = y_r(t - t_0) = \sum_{n=0}^{N-1} x(t_0 + nT_s) \operatorname{sinc}\left(\frac{t - (t_0 + nT_s)}{T_s}\right). \quad (4.11)$$

为此, 规定

$$x_r(t) := \sum_{n=0}^{N-1} x(t_0 + nT_s) \operatorname{sinc}\left(\frac{t - (t_0 + nT_s)}{T_s}\right) \quad (4.12)$$

为时域有限的连续时间信号 $x(t) \in C_c[t_0, t_0 + \tau)$ 的**理想带限内插**.

定义连续时间信号 $x(t)$ 的样值序列 \mathbf{x} 和取样函数序列 $\mathbf{s}(t)$:

$$\begin{aligned} \mathbf{x} &:= (x_i)_{N \times 1} := (x(t_0 + iT_s))_{N \times 1}, \quad i = 0, \dots, N-1, \\ \mathbf{s}(t) &:= (s_i(t))_{N \times 1} := \left(\operatorname{sinc}\left(\frac{t - (t_0 + iT_s)}{T_s}\right) \right)_{N \times 1}, \quad i = 0, \dots, N-1, \end{aligned} \quad (4.13)$$

即

$$\begin{aligned} \mathbf{x} &:= [x(t_0 + 0T_s), x(t_0 + 1T_s), \dots, x(t_0 + (N-1)T_s)]^T, \\ \mathbf{s}(t) &:= \left[\operatorname{sinc}\left(\frac{t - (t_0 + 0T_s)}{T_s}\right), \dots, \operatorname{sinc}\left(\frac{t - (t_0 + (N-1)T_s)}{T_s}\right) \right]^T. \end{aligned} \quad (4.13')$$

则 (4.12) 可写成

$$x_r(t) := \mathbf{s}^T(t) \mathbf{x}. \quad (4.12')$$

现在用等时间间隔样值 \mathbf{x} 理想带限内插到 $t = t_k$, $k = 0, \dots, M-1$ 上, 试图重建原始信号 $x(t)$. 定义重建信号序列

$$\mathbf{x}_r := (x_r(t_k))_{M \times 1}, \quad k = 0, \dots, M-1,$$

则由 (4.12') 得

$$\mathbf{x}_r = \begin{bmatrix} \mathbf{s}^T(t_0) \\ \vdots \\ \mathbf{s}^T(t_{M-1}) \end{bmatrix} \mathbf{x}. \quad (4.14)$$

上式这种矩阵形式适合计算机编程实现. 若定理 4.1 的条件被满足, 则 \mathbf{x}_r 和原始信号在相应时刻的值相等.

4.2.4 信号重建质量的评价

由 (4.9) 知道, 理想带限内插总是能够精确恢复原始信号在取样时刻的值. 因此, 为了评价信号重建的质量, 应考察重建公式 (4.8) 对非取样时刻原始信号的恢复情况. 注 4.3 指出, 重建公式 (4.8) 不宜用于外推, 故不必考察 (4.8) 在取样时间区间外的重建性能.



基于上述考虑, 本项目按下述方式评价信号重建质量. 在采样时间区间内, 等间隔地选定一组重建时刻, 重建时间间隔远小于且整除采样时间间隔, 以使重建时刻包含采样时刻. 计算**重建相对误差**

$$e_r(t_r) := \frac{x_r(t_r) - x(t_r)}{|x(t_r)|}, \quad (4.15)$$

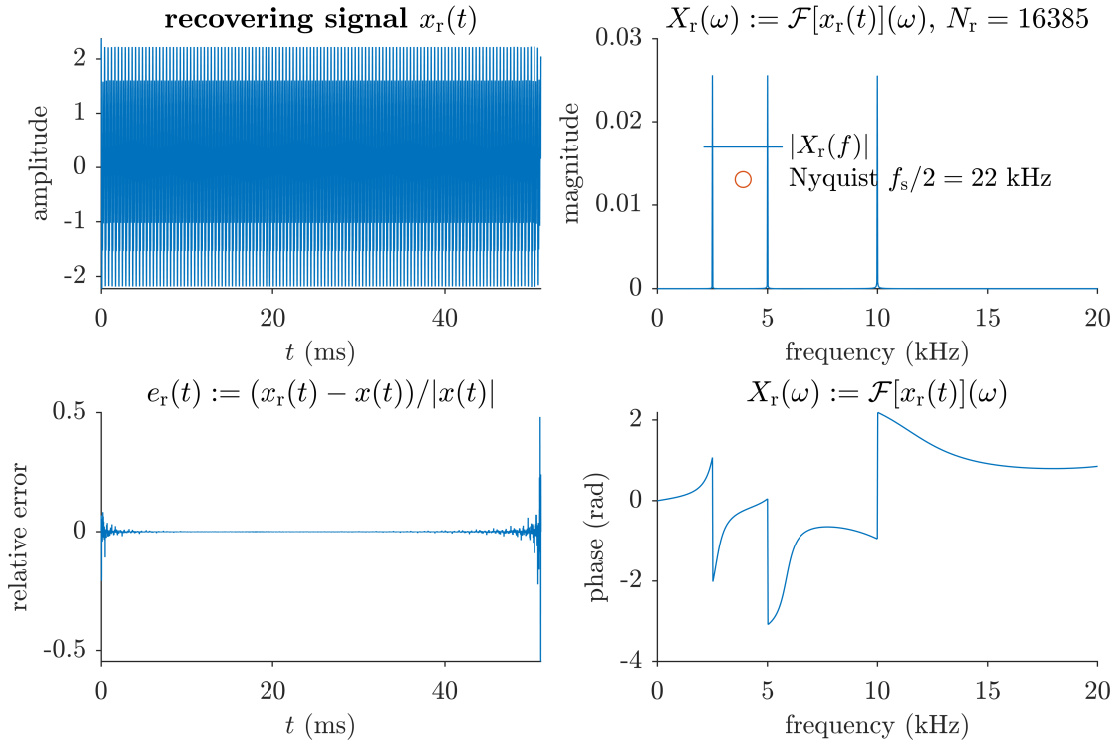
其中 t_r 是重建时刻, $x_r(t)$ 是利用理想带限内插重建公式 (4.8) 对原始信号 $x(t)$ 在采样时间区间上的重建信号.

4.3 结果和讨论

对原始信号 (4.1), 从初始时刻 0 秒 (含) 起, 分别以采样频率 44、22、11、5.5、2.75 kHz 等间隔取样, 获得 2253、1127、564、282、141 个采样值. 在采样时间区间内, 以重建频率 320 kHz, 等时间间隔地选取 16385 个重建时刻, 使用理想带限内插公式 (4.8) 获得重建信号在重建时刻上的值. 用 (4.15) 计算重建相对误差.

ideal band-limited interpolation ($f_s = 44$ kHz, $N_s = 2253$)

Guorui Wei 516021910080



4.4 项目小结



References



Appendix A MATLAB 源代码

Appendix B